

I-35 泥漿のレオロジー的性質について

京都大学防災研究所 正員 矢野勝正
京大工業教員養成所 正員。大同塚文

目的 泥漿のような非ニュートン流体の流动式は数多くあり、さらにいざれも二つ以上の常数が必要で、たとえば、 $\tau = \mu(du/dy)^n$ と表されるベキ法則では、粘性係数 μ 、構造指数 n が必要である。ここに、 τ はせん断応力、 du/dy はずり速度である。しかし、現在では、どの条件にはどの流动式が適切か、これを決定する方法はなく、常数の性格も不明である。この研究は、泥漿の变形を測定して、流动式の適用範囲と常数の決定に役立てるようとするもので、今までに得られた結果について報告する。

測定方法 図1に示す共軸円筒回転型の粘度計を用いた。器械A、Bともに二重円筒の間に試料を入れ、内筒または外筒を回転させて試料に变形を与える。内筒の表面にはたらく力が測定できる。測定に用いた土の粒径を表1に示す。

測定結果と考察 測定結果を概説すると、(A)の器械で一定荷重を与えると、試料により、一定の速度で回転する場合と、時間とともに回転が減少する場合(図2)、(B)の器械で一定のずり速度を与えたとき、一定の応力を示す場合、時間とともに応力の増していく場合(図3)、および時間とともに応力の減少する場合(図4)がえられた。試料が擬塑性流動 $\tau = \mu(du/dy)^n$ 、塑性流動 $\tau - \tau_y = \mu(du/dy)^{n-1}$ の場合には、角速度 ω と内筒にはたらくトルク T の間には、それぞれ $\omega = \frac{1}{2\pi\mu} \left(\frac{T}{R_i^2} \right)^{\frac{1}{n}} \left(\frac{1}{R_i^2} - \frac{1}{R_o^2} \right)$ (3) $\omega = \frac{T}{4\pi\mu R_o^2} \left(\frac{1}{R_o^2} - \frac{1}{R_i^2} \right) + \frac{\tau_0}{\mu} \ln \frac{R_o}{R_i}$ (4) の関係があり、 $\log \omega$ と $\log T$ 、または ω と $(T/4\pi\mu)(1/R_o^2 - 1/R_i^2)$ の関係から、 n 、 μ および τ_y を知ることができる。ここに R_i は内筒の半径、 R_o は外筒の半径である。(1)式または(2)式による流动型式の判定は、粒子の濃度が低いときは有效で、はつきり判定された。図5は試料3の実験結果と(4)式の関係に表したもので、直線の勾配より μ が得られる。ただし、図5において、塑性流動とみなせるのは直線関係の成立している部分で、直線を延長して $\omega = 0$ の横軸の截点より求まる τ_y を降伏値とする塑性流動である。直線と曲線の交点を表1 测定試料の粒径

上限降伏値とすると、上限降伏値より少さい曲線の部分は、粘弹性の性質をもつ領域である。この領域の変

No.	中央粒径 mm	粒径分布	標準偏差	比重	呈色
1	0.0034	対数正規	2.92	2.703	白
2	0.0062	〃	3.04	2.706	〃
3	0.0062	〃	4.70	2.810	黄
4	0.0079		2.53	2.644	ベナガル

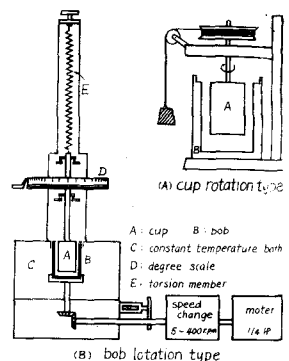


図1 粘度計

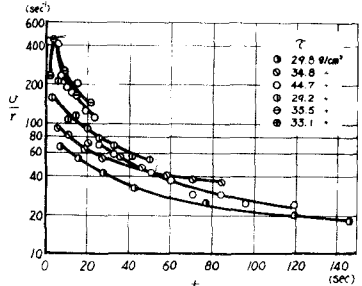


図2 一定荷重によるクリップ

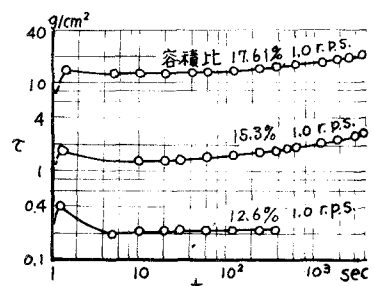


図3 一定差速度による場合

形は、線型性がなりたつと考えると、Boltzman の基礎方程式よりある時間 t における歪み ϵ との関係は、 $\epsilon = C t^{\alpha} \dots (5)$ とする。クリープの場合、時刻 t における歪みは $\epsilon = C/t + C \int_0^t \frac{dc}{dt} dt$, $t = t - t_0$ と表せる。 $(dc/dt)dt = K dt$ すると、粘弹性、塑性の両域を通じての変形量は、上限降伏値に達した時間 t_u として

$$\epsilon = C/t + C \int_0^t K(t') dt' + 1/(t-t_0)(t-t_u) \dots (6)$$

で求められる。実験の結果では、上限降伏値 ϵ_u までの歪形 ϵ と時間 t の関係は、 $\epsilon/\epsilon_u = (t/t_u)^b \dots (7)$ と表せる。図 6, (6)式の右辺第 1, 第 2 項を (7) 式で表わすと。

$$K(t) = (\epsilon_u/C)^b \cdot b \cdot (t/t_u)^b t^{-1} \dots (8)$$

となる。 b の値は、この実験では試料 3, 濃度 13% で $b = 0.86$ であった。

一方、試料 2 では、クリープ、一定ずり速度いずれの試験法によっても擬塑性流動を示した。この試料は試料 3 と同じ粒径であるから、泥漿の性質が、粒子の形状、寸法または比重ではなく、水分子の水和の状態によって、著しく作用されることを示している。

1 例として、 $C_0 = 1.7 \times 10^{-2} g/cm^2$, $N = 0.42 \times 10^{-2} g \cdot sec/cm^2$ の値を示したゼントナイト泥漿に、塩化カルシウムを添加すると、 $C_0 = 0$, $\mu = 0.25 \times 10^{-2} g \cdot sec/cm^2$ の値に変化した。これは水和の変化と考えられる。水和が増すほど粒子間にブリッジが形成され、沈降速度が減少すると考え、試料 2, 3 の濃度による沈降速度の変化を、

$\{(ds/dp)_{t=t_0} - (ds/dp)_{t=0}\}/t_1 = Z \dots (10)$, $Z = a_0 - b\{(ds/dp)_{t=0}\}^n \dots (10)$, a_0, b_0 は定数, ds は粒子重量とその懸濁容積の比, dp は最充填密度, で表わすことにする。³⁾ 試料 2, 3 の t_0 は低濃度で -1.60 とほぼ同値であるが、 $ds/dp = 0.3$ 位より試料 3 は急増した。また $dZ/d\{(ds/dp)_{t=0}\}^n$ の値は試料 2 よりずっと大きい。以上の方法で、水和の強さを判定できるのではないかと考えている。

このような水和の影響をうける領域では、粘性係数を急激に大きくなり、例えば図 5 の試料では、容積濃度 12.6%, 17.6% でそれぞれ $M/M_0 = 47$, および 148 となり、いわゆる Einstein 流の粘度式では、いかにも水和の影響を加えても無理なようと思われる。

したがって、水和の影響を受けるときは、図 7 の力学模型を考え、ただし粘性 μ_2 は Eyring の反応速度過程の考えにしたがうとする。

$$d\epsilon_1/dt = (1/\sigma_1)(d\sigma_1/dt) \dots (11) \quad d\epsilon_2/dt = (1/\sigma_2)(d\sigma_2/dt) + A_2 \sinh(B_2 \sigma_2) \dots (12) \quad \epsilon = \epsilon_1 + \epsilon_2 \dots (13)$$

ここに A_2, B_2 はレオロジー常数で、 $d\sigma/dt = 0$ のとき $\epsilon = a_0 + b_0 \log t$, a_0, b_0 は常数の形となり、図 3, 4 の $d\epsilon/dt = \text{const} = c_0$ のとき

$$\left| \frac{e^{B_2 t} + B_2}{e^{B_2 t} - \alpha}, \frac{e^{B_2 t} - \alpha}{e^{B_2 t} + B_2} \right| = e^{-\frac{(\alpha+B_2)}{2} B_2 A_2 t} \dots (14) \quad \text{ここに}, \alpha = c_0 + \sqrt{c_0^2 + 1}, \beta = c_0 - \sqrt{c_0^2 + 1}, t_0 \text{ は } t = 0 \text{ における応力とする。常数の決定に適当な実験結果がないので常数は決定されてないが、粘土のクリープ試験の結果からみて、十分有用と考えている。この研究の一部に、文部省試験研究費の補助を受けた。ここに記して感謝の意を表す。参考文献; 1) 仲野良記: 農業土木学会講演会講演要旨; 昭 36. 5. P.12$$

2) 長崎 雄, 渡辺 明, 材料試験 11巻106号 P.342

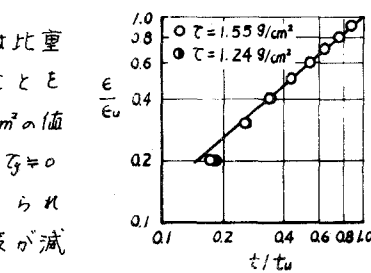
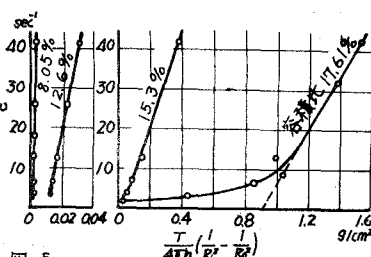
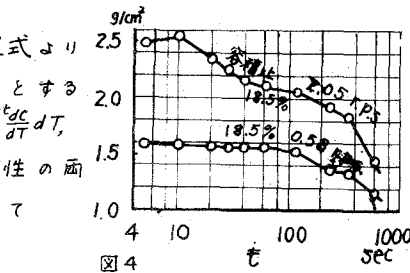


図 6 変形と時間の関係

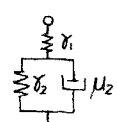


図 7 力学模型